

УДК 539.376:677.861.81:539.23

ВЛИЯНИЕ ПРЕДВАРИТЕЛЬНОЙ ДЕФОРМАЦИИ
НА ПОЛЗУЧЕСТЬ И РЕЛАКСАЦИЮ КОНДЕНСИРОВАННЫХ ПЛЕНОК МЕДИ

К.К. Зилинг, В.Ю. Пчелкин

В работе оценивается влияние предварительной пластической деформации на ползучесть и релаксацию конденсированных пленок. Результаты сопоставляются с данными, полученными на массивных материалах.

Эксперимент проведен на пленках меди толщиной 3 мк, полученных испарением материала чистотой 99.997% из молибденового тигля в вакууме $(3-5) \cdot 10^{-6}$ тор. Осаджение производилось на нагретые до $(200 \pm 10)^{\circ}\text{C}$ стеклянные подложки, покрытые слоем *NaCl* толщиной 0,1 мк. После отделения от подложки плоские образцы с размерами рабочей части 12 x 1 мм испытывались на релаксацию или ползучесть при одноосном растяжении на микроразрывной установке [1] при комнатной температуре. На этой же установке определялся модуль Юнга E . Испытания на ползучесть проведены при постоянной силе, однако, поскольку деформация образцов была менее 1%, изменение действующего напряжения не учитывалось вследствие малости.

Результаты

На рис. I приведены кривые релаксации, полученные при одном и том же начальном напряжении $\sigma_0 = 15,5 \text{ кг}/\text{мм}^2$, но различной предварительной механической обработке образцов. Образец № 1 испытан непосредственно после получения, образец № 2 — после кратковременной пластической деформации на величину

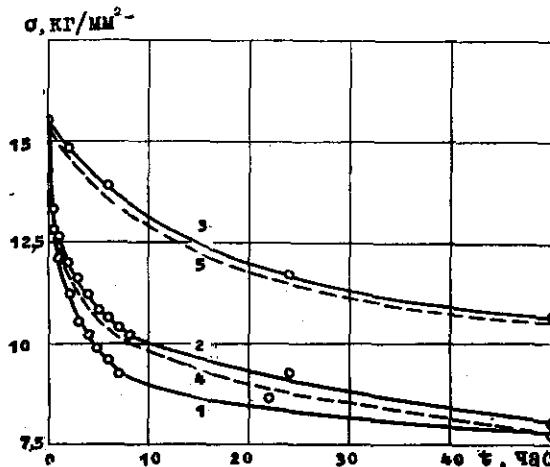


Рис. I

ну $\varepsilon_0 = 0,25\%$, образец № 3 — после ползучести при напряжении $\sigma = \sigma_0 = 15,5 \text{ кг}/\text{мм}^2$ до деформации $\varepsilon_0 = 0,075\%$. Цифры на графике соответствуют номерам образцов. На этом же графике приведены кривые, полученные в результате расчетов, проведенных на основе гипотезы упрочнения. Расчеты проведены следующим образом. Как показано в работе [2], уравнение ползучести аналогичных пленок имеет обычный вид:

$$\varepsilon \varepsilon^\alpha = k \exp \sigma / A, \quad (I)$$

где A , k и α — величины, определяемые из эксперимента. В этом случае уравнение релаксации с учетом предварительной деформации может быть записано в виде:

$$\sigma = \sigma_0 + E \varepsilon_0 - A \varphi^{-1} \left[\varphi \left(\frac{E \varepsilon_0}{A} \right) + k \left(\frac{E}{A} \right)^{1+\alpha} t \exp \left(\frac{\sigma_0}{A} + \frac{E \varepsilon_0}{A} \right) \right], \quad (2)$$

где t — время,

$$\varphi(x) = \int_x^\infty z^\alpha \exp z dz, \\ \varphi' — функция, обратная φ .$$

Уравнение (2) получено для чистой релаксации, когда

$$\sigma + E E = \text{const}. \quad (3)$$

В настоящих экспериментах длина образца несколько менялась за счет перемещения жесткой силомизерительной пружины, и условие (3) должно быть заменено на

$$M \sigma + E E = \text{const}. \quad (4)$$

Здесь $M = I + CSE/L$, где C — податливость пружины, L — длина образца, S — его поперечное сечение. Для исследованной пары образцов $M = 1,25$. Легко показать, что условие (4) приводит к замене в уравнении релаксации (2) величины E на E/M . Входящие в уравнения (1) и (2) константы были определены независимо из опытов на ползучесть. Среднее значение показателя степени α было близко к 2, а величины A и k равнялись, соответственно, $3,83 \text{ кг}/\text{мм}^2$ и $1,3 \cdot 10^{-14} \text{ мин}^{-1}$. Полученные по этим данным расчетные кривые показаны пунктиром. Значение $\varepsilon_0 = 0$ соответствует кривая 4, значению $\varepsilon_0 = 0,075\%$ — кривая 5.

Из приведенных данных видно, что воздействие на последующую релаксацию кратковременной пластической деформации и деформации ползучести не эквивалентно. Деформация ползучести заметно увеличивает сопротивление пленок последующей релаксации, причем экспериментальные кривые хорошо совпадают с кривыми, рассчитанными на основе гипотезы упрочнения. В то же время равная или большая по величине кратковременная пластическая деформация существенного влияния на последующее поведение пленок не оказывает, и её можно в первом приближении не учитывать. (Расхождение кривых 1 и 2 лежит в пределах экспериментального разброса).

Приведенные результаты полностью соответствуют, судя по работе [4], данным, полученным на массивных материалах. Из экспериментов на массивной меди известно также, что упрочняющее действие кратковременной деформации начинает проявляться только при $\varepsilon_0 > 0,2\%$. Данные работы [5] показывают, что предварительный наглед может снизить скорость ползучести более, чем в 5 раз, и, следовательно, кратковременная пластическая деформа-

ция является достаточно эффективным средством повышения сопротивления низкотемпературной ползучести и релаксации.

На рис.2 приведены кривые ползучести пленок меди при $\sigma = 19,5 \text{ кг}/\text{м}^2$ после предварительной деформации на 0,06, 0,14, 0,28 и 5% (кривые 1 - 4, соответственно). Деформации большей величины не задавались, поскольку относительное удлинение образцов не превышало 0,65%.

Видимо, хотя действие наклона на ползучесть пленок и массивных материалов качественно одинаково (в обоих случаях при некоторых значениях ε_0 наблюдается прекращение упрочнения), но для пленок уменьшение скорости ползучести не превышает 35%, что близко к величине разброса.

Таким образом, приведенные результаты показывают, что предварительный наклон исследованных пленок не может служить средством улучшения их характеристик ползучести.

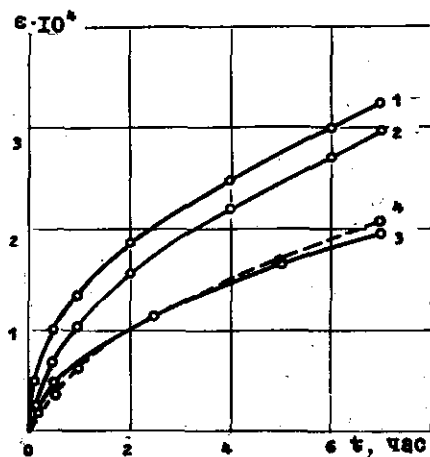


Рис. 2

Л и т е р а т у р а

1. КОСТОК В.Г., ЗИЛИНГ К.К., СЕРЕБРИКОВ А.В. Прочностные свойства металлических нитевидных кристаллов с примесями. ФТИ, 1963, вып. II.
2. ЗИЛИНГ К.К., ПЧЕЛКИН В.Д. Закономерности ползучести компенсированных пленок меди. ПМТФ, 1971, № 5.
3. РАБОТНОВ Ю.Н. Ползучесть элементов конструкций, М., "Наука", 1966.
4. ДАНИЛОВСКАЯ В.Н., ИВАНОВА Г.М., РАБОТНОВ Ю.Н. Ползучесть и релаксация хромо-молибденовой стали. Изв. АН СССР, ОТН, 1955, № 5.
5. КАПТЕЛИН Ю.П. Уравнение состояния для ползучести на кипящей меди. Сб. ИИИТ, 1962, вып. II.

Поступила в ред.-мед. отд.
26 июня 1972 г.